



第四届全国稳定同位素生态学学术研讨会

稳定同位素技术测定土壤中 N_2O 的排放贡献

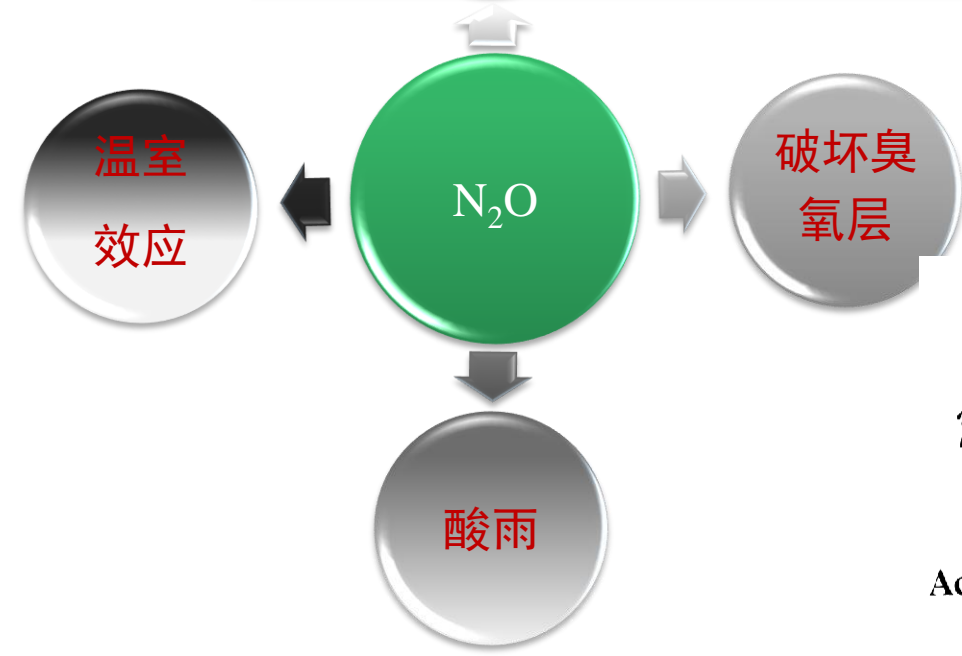
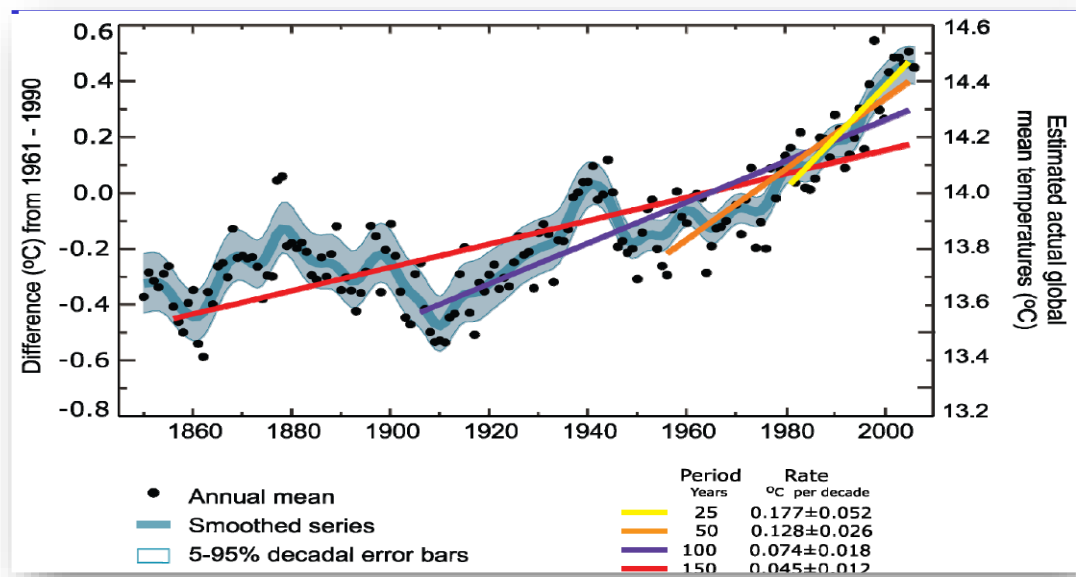
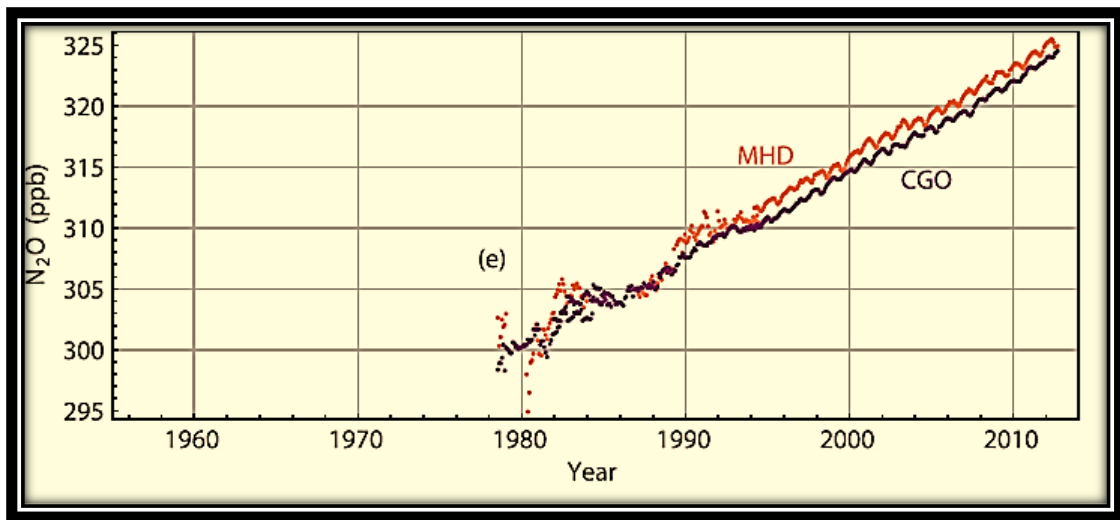
曹亚澄，张金波，温腾

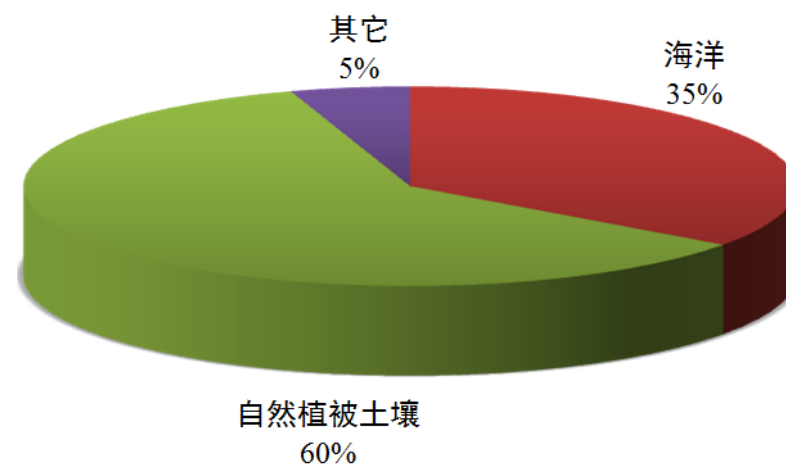
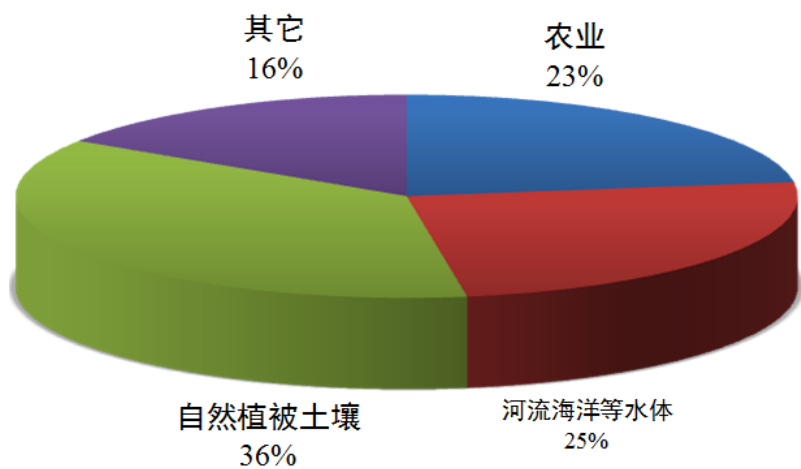
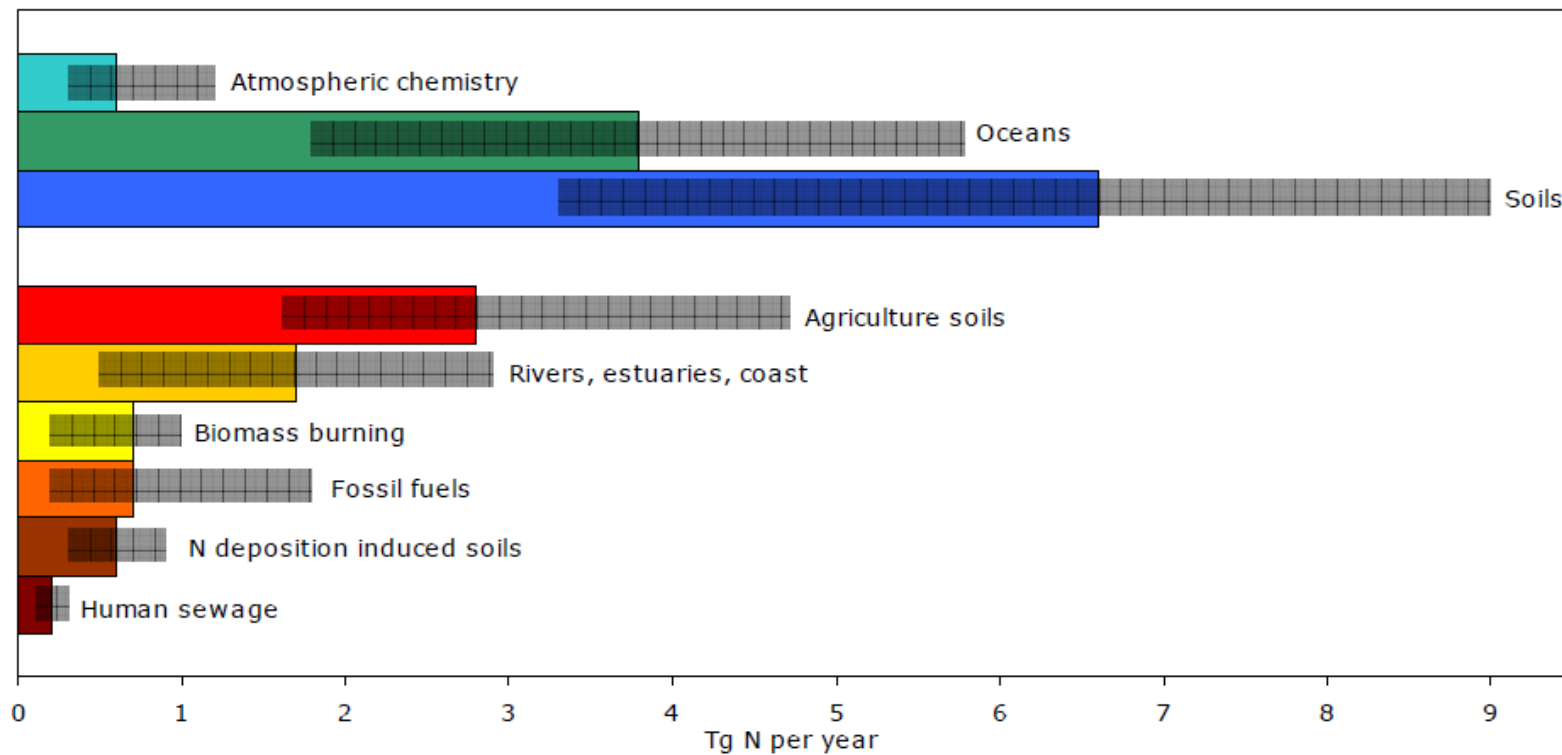
南京师范大学地理科学学院

wenteng@njnu.edu.cn



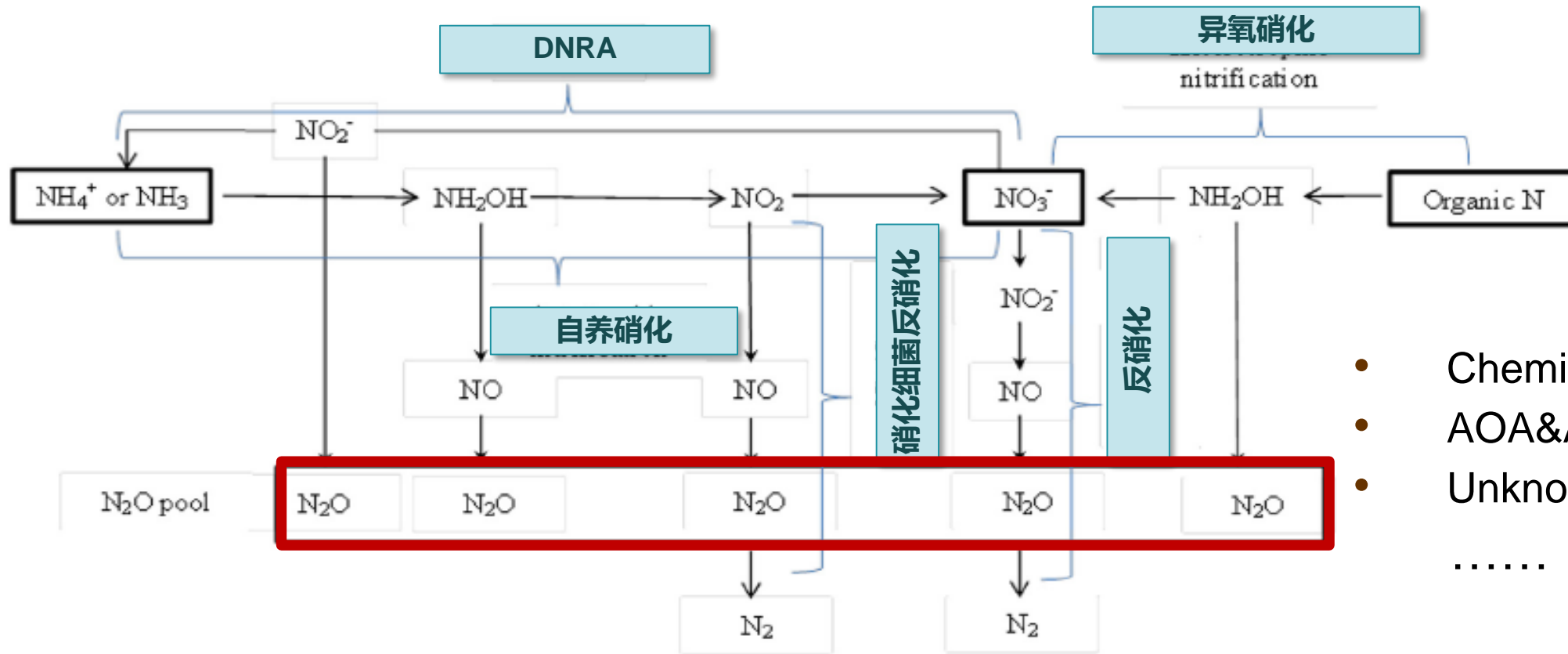
N₂O是一种重要的温室气体





自然植被土壤贡献了N₂O总排放量的36%，N₂O自然源的60%

土壤N₂O主要产生途径



- Chemical denitrification
- AOA&AOB
- Unknown process
-

溯源N₂O产生途径



实现N₂O有效减排

土壤中N₂O排放贡献的区分方法

➤ 通量法

➤ 抑制剂法：

低浓度C₂H₂ (between 0.1 and 10 Pa)

➤ 稳定同位素法：

(1) 富集标记方法——¹⁵N成对标记 (¹⁵NH₄、¹⁵NO₃)

(2) 自然丰度方法

➤ ¹⁵N、¹⁸O

➤ ¹⁵N—SP, ¹⁸O—SP

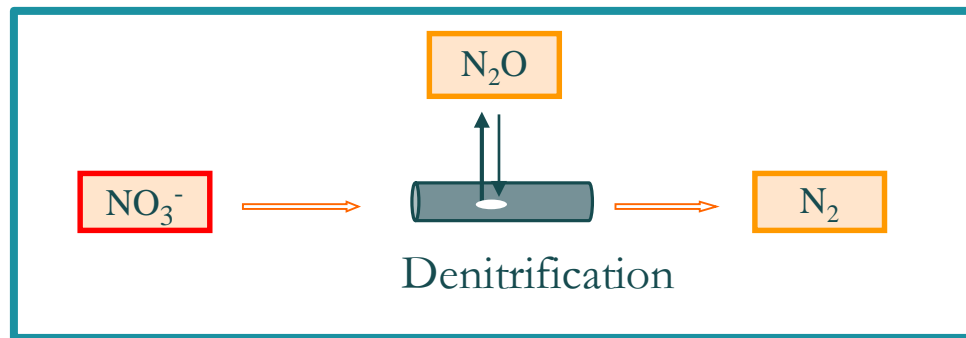


1. 富集标记方法研究土壤 N_2O 排放贡献

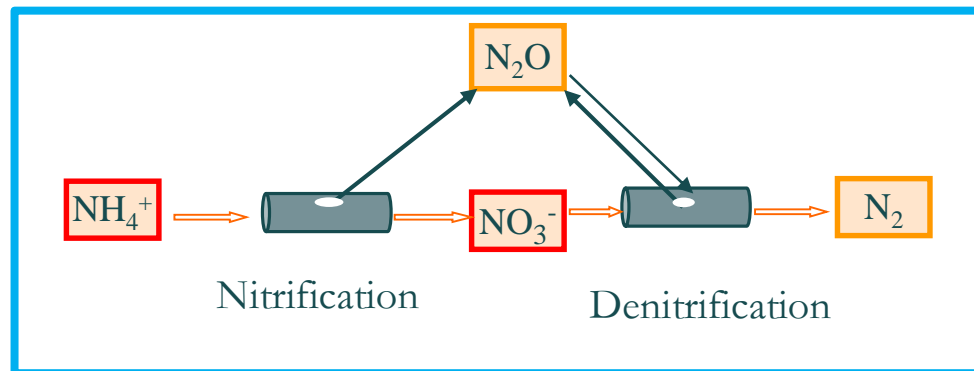
N₂O “管道漏气” 概念模型 (Hole-in-the-pipe)

问题1. 土壤N₂O的来源N库

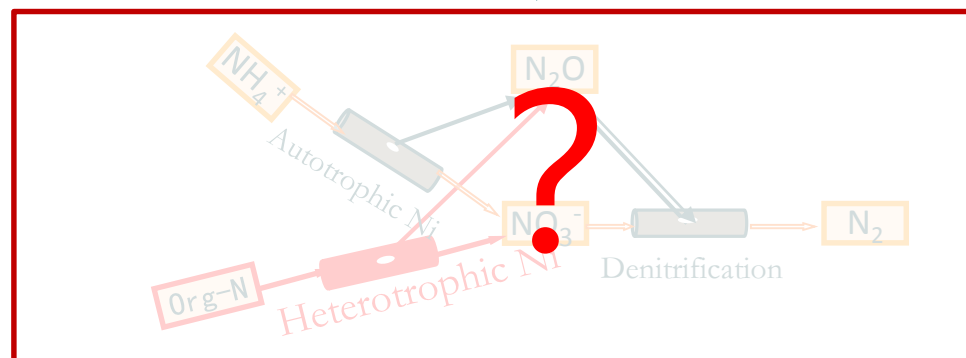
1980年代以前

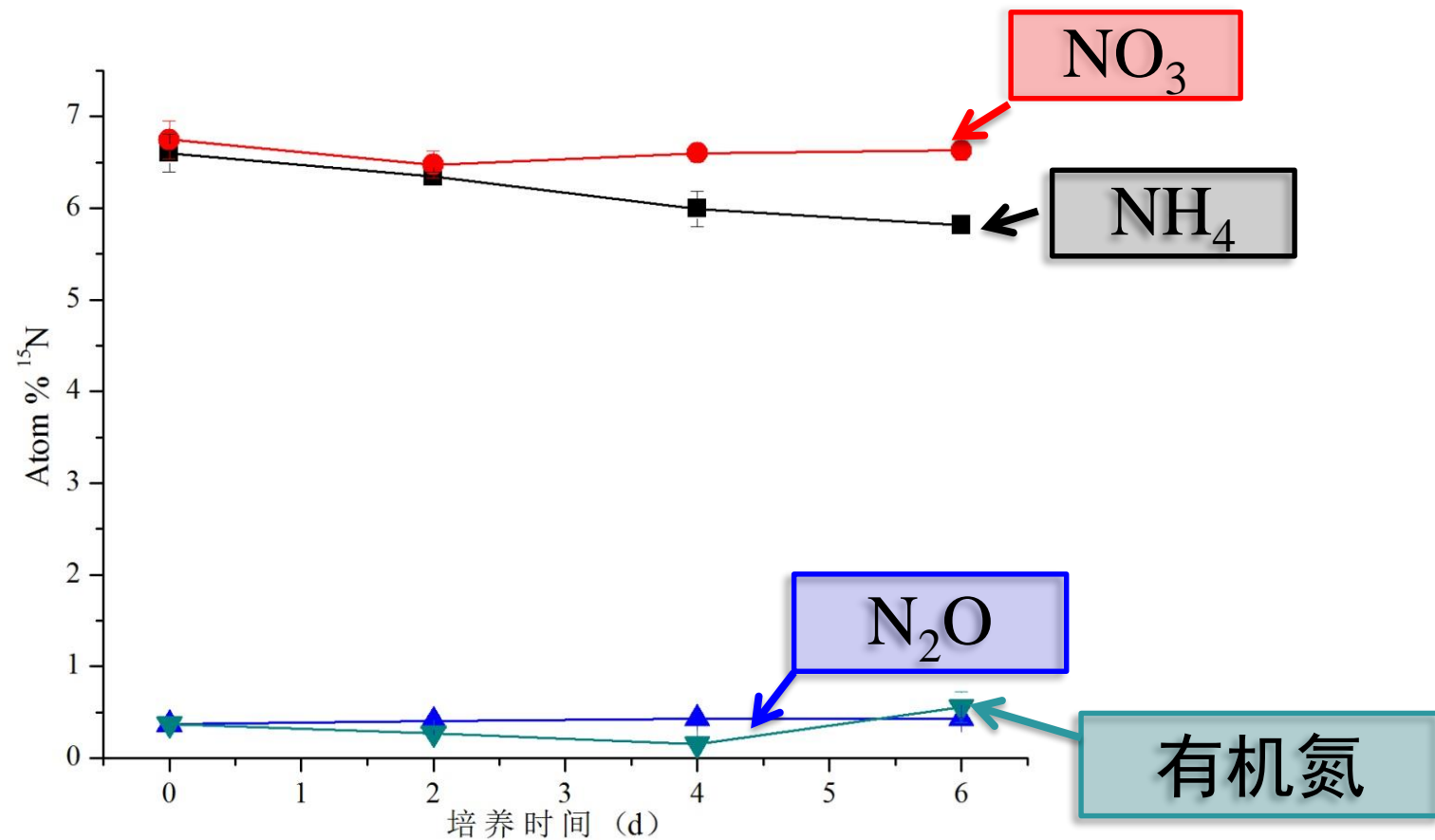


1980年代以后

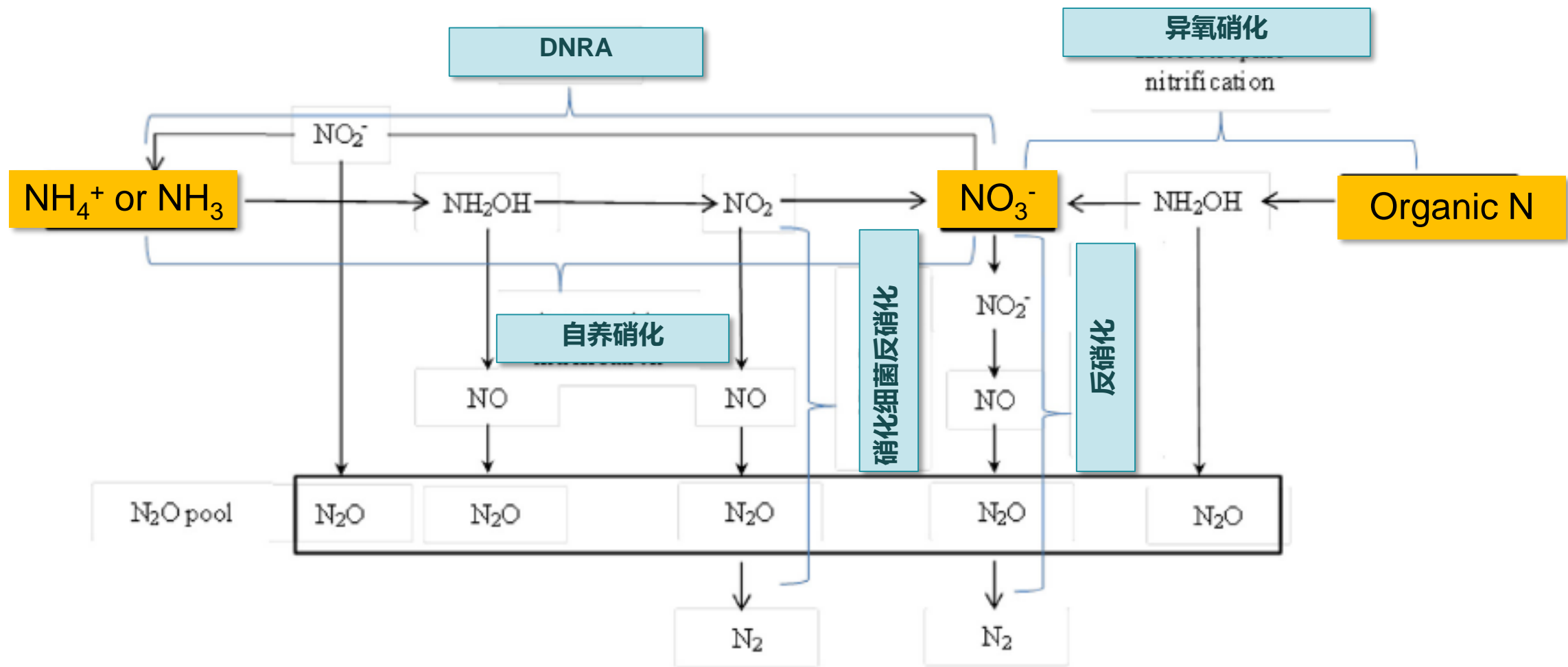


完善N₂O排放模型?

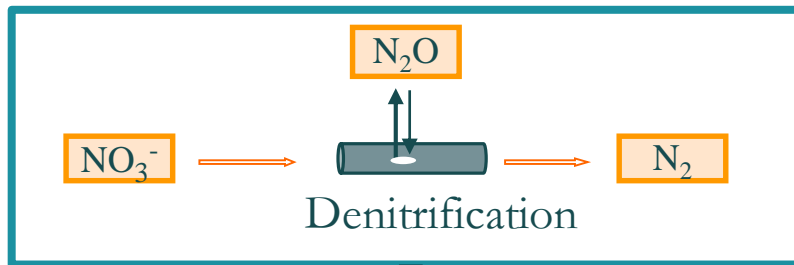




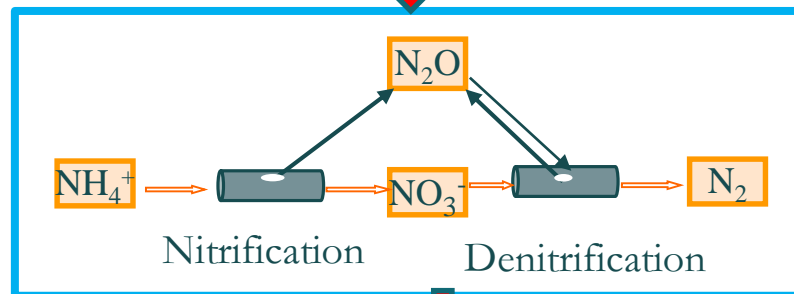
- 众多¹⁵N稳定同位素标记研究表明，一些土壤中N₂O主要来源于未标记氮库，而不是NH₄和NO₃库(Rütting et al., 2010)



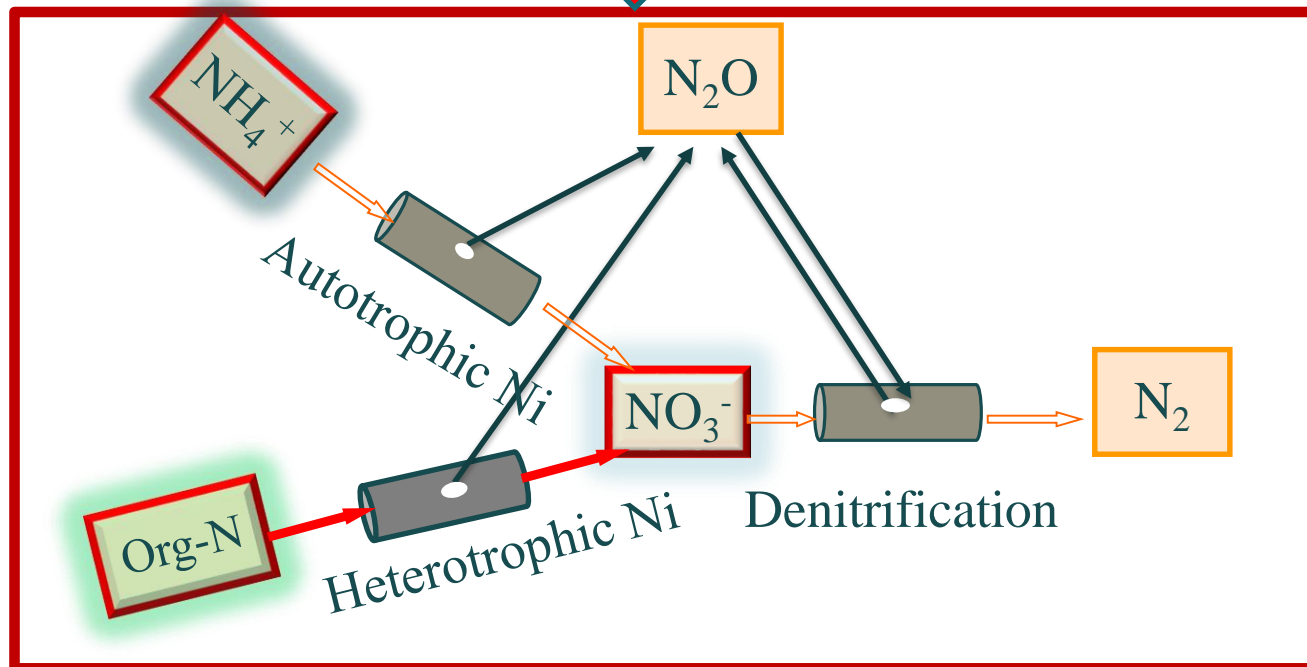
1980年代以前



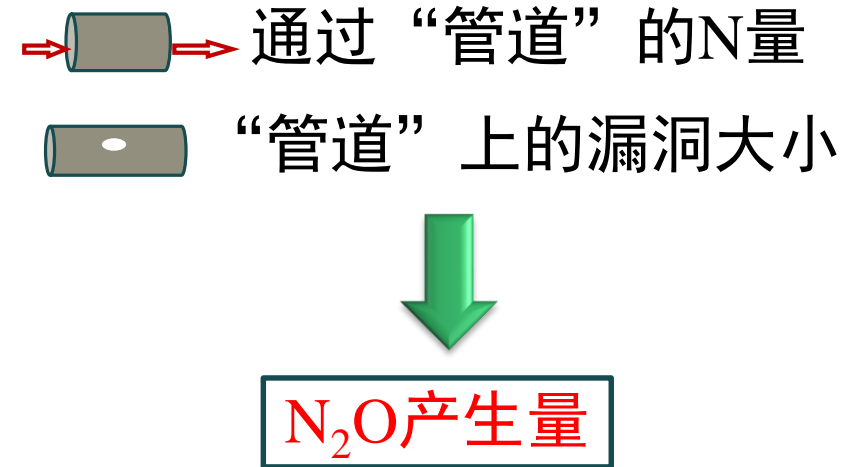
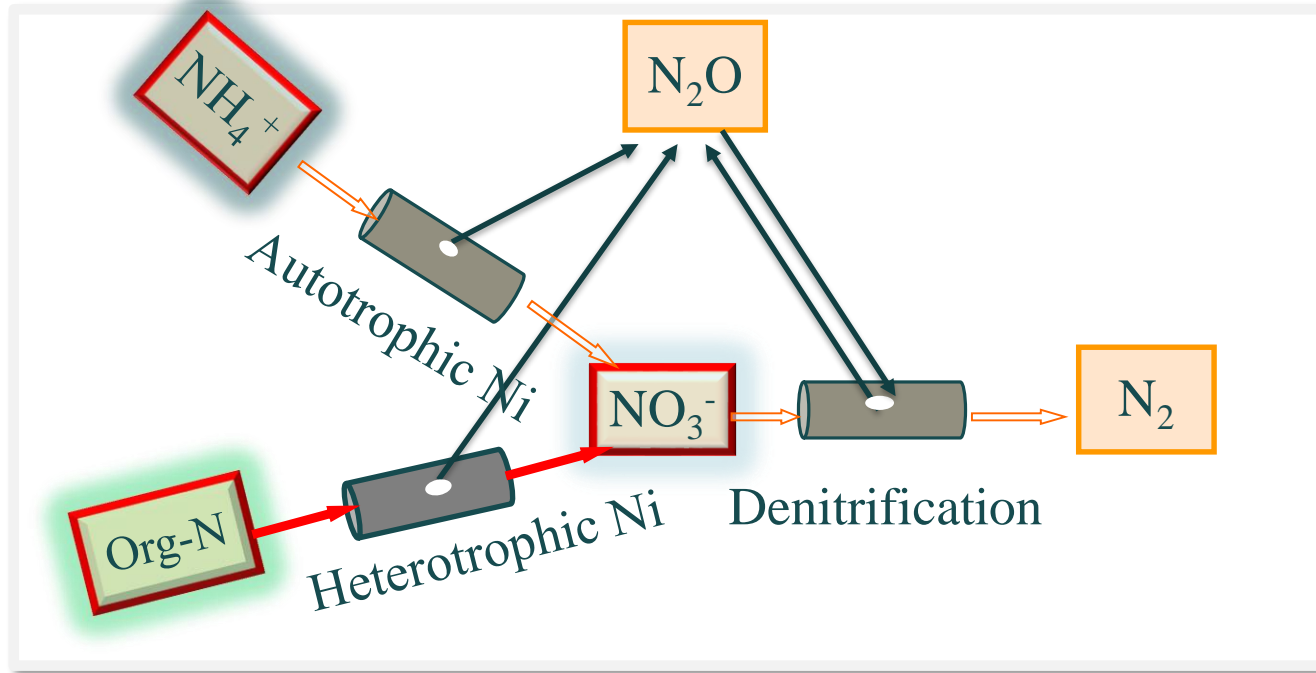
1980年代以后



完善 N_2O 排放的管道漏气模型



问题2. 定量化



- ① 通过管道的总氮量?
- ② 各“管道”对 N_2O 排放的贡献率? (N_2O 的产生途径)
- ③ 各“管道”的 N_2O 产生量?
- ④ 各“管道”的 N_2O 产生率? (漏洞大小)
- ⑤ 影响因素?

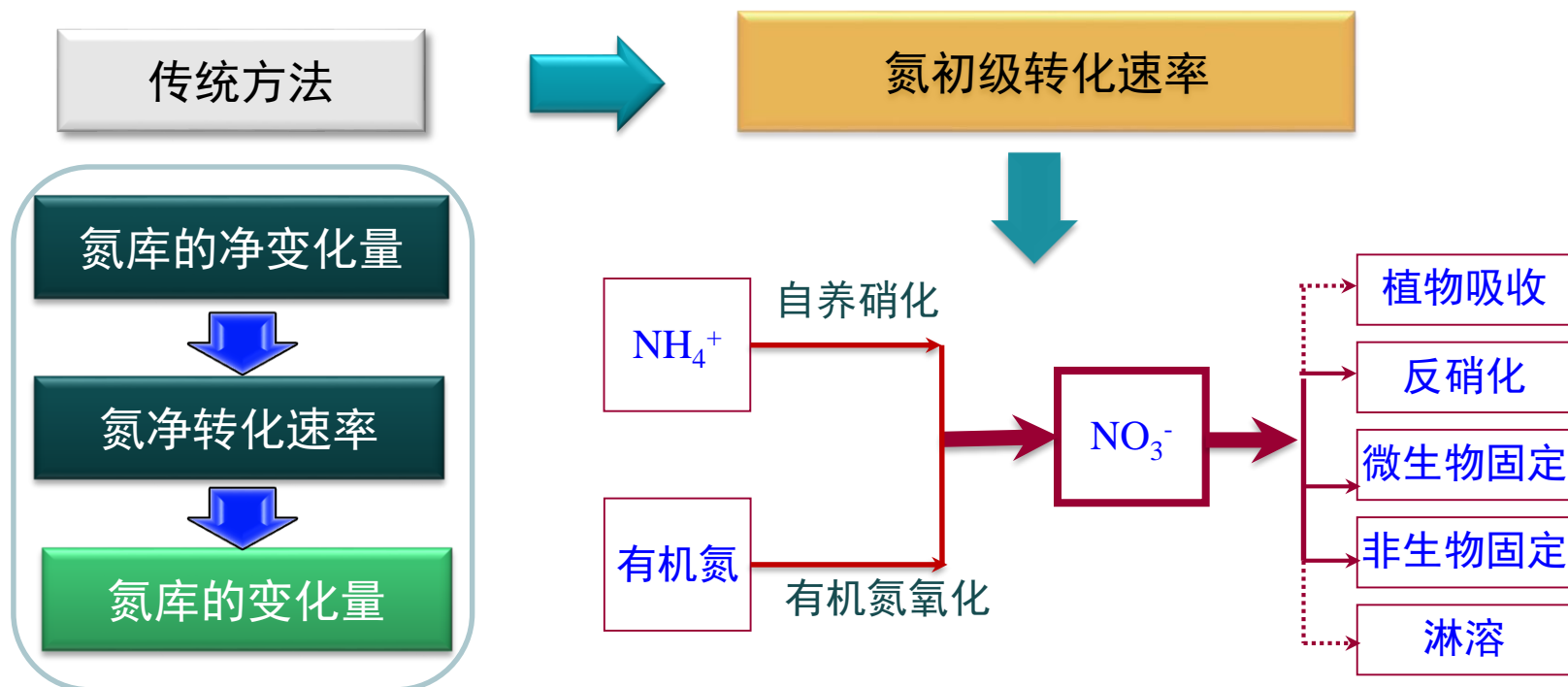
氮转化速率

➤ 净转化速率(Net transformation rate)

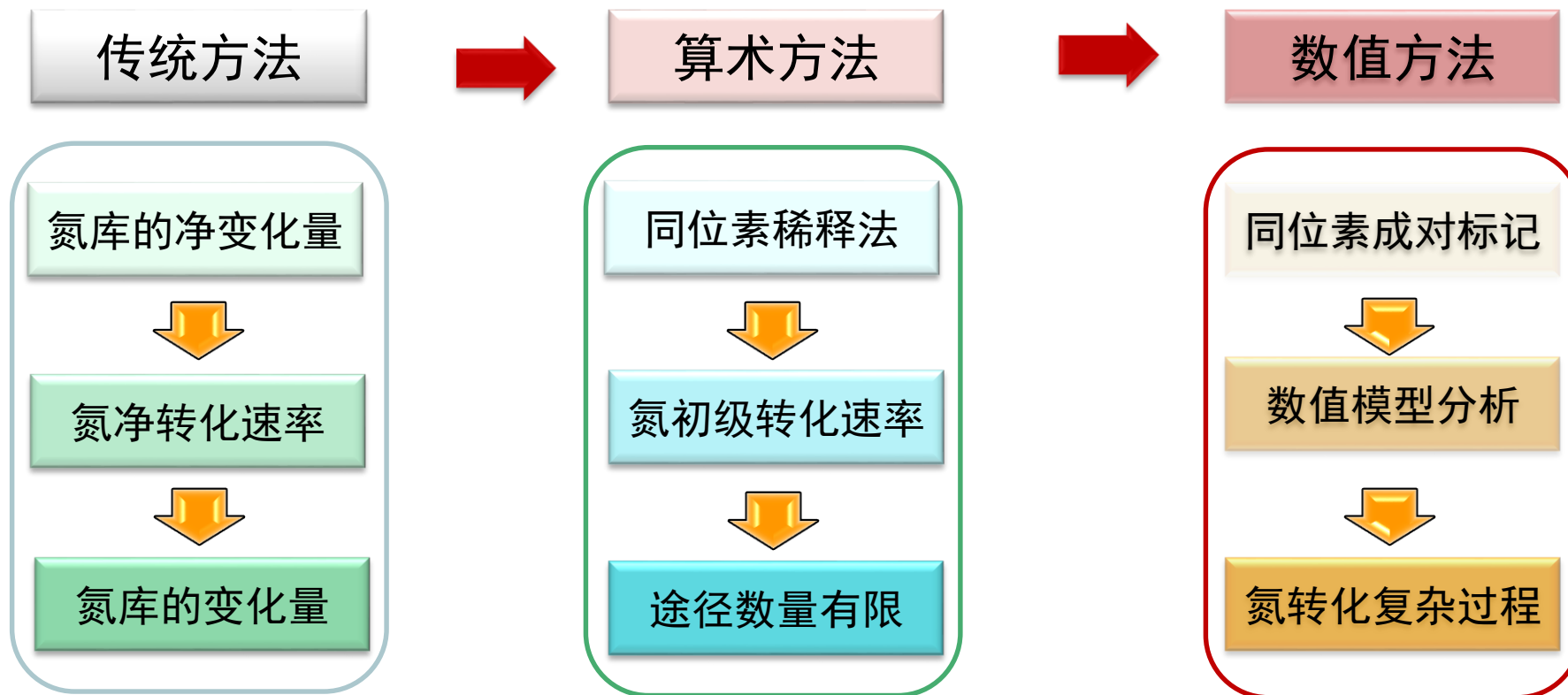
通过测定单位时间内氮含量净变化。

➤ 初级转化速率(Gross transformation rate)

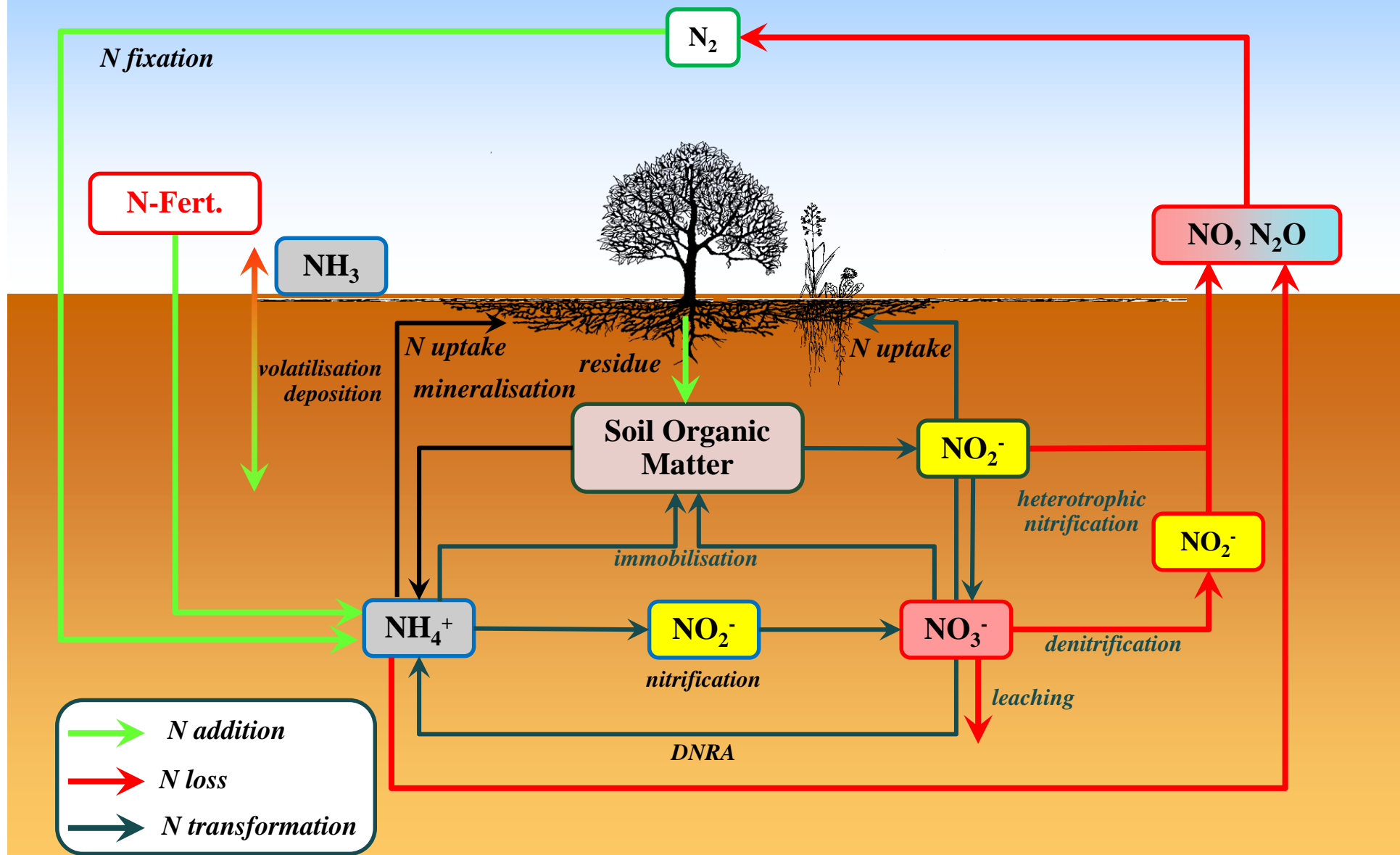
土壤氮从一种形态转化为另一种形态的实际转化率。



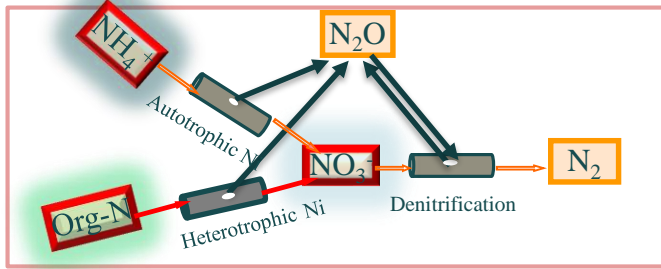
氮转化速率研究方法



氮循环



定量方法



□ 通过“管道”的N量



初级转化速率

- 算术方法
- 数值方法

□ “管道”上漏洞的大小



N_2O 产生量/总转化N量

N_2O 产生速率*时间/初级转化速率*时间

➤ N_2O 产生速率/初级转化速率

□ 各“管道”对 N_2O 排放的贡献率

- 来源分析法
- 反向标记法
- 示踪模型法

“管道漏气模型”的定量化

- $^{15}\text{NH}_4\text{NO}_3$ 和 $\text{NH}_4^{15}\text{NO}_3$ 成对标记或增加 $^{15}\text{NH}_4^{15}\text{NO}_3$
- 测定 $\text{NH}_4^+(a_{\text{NH}_4})$ 、 $\text{NO}_3^-(a_{\text{NO}_3^-})$ 、有机氮(a_{org})和 N_2O ($a_{\text{N}_2\text{O}}$) ^{15}N 丰度。

□ 各“管道”对 N_2O 排放的贡献率 $a_{\text{N}_2\text{O}} = da_{\text{NO}_3} + na_{\text{NH}_4} + ha_{\text{org}}$
(其中: $d + n + h = 1$)

□ 各“管道”的 N_2O 排放量

$$N_2O_n = n \times N_2O_T$$
$$N_2O_h = h \times N_2O_T$$
$$N_2O_d = d \times N_2O_T$$

□ 各“管道”的 N_2O 产生率

$$R_h = N_2O_h / O_{\text{Nrec}}$$
$$R_n = N_2O_n / O_{\text{NH}_4}$$
$$R_d = N_2O_d / \text{Den}$$



Contents lists available at ScienceDirect

Soil Biology & Biochemistry

journal homepage: www.elsevier.com/locate/soilbio



Review paper

Heterotrophic nitrification of organic N and its contribution to nitrous oxide emissions in soils



Jinbo Zhang^{a, b, c, d}, Christoph Müller^{e, f}, Zucong Cai^{a, b, c, d, *}

Contents lists available at ScienceDirect

Soil Biology & Biochemistry 62 (2013) 107–114



Contents lists available at SciVerse ScienceDirect

Soil Biology & Biochemistry



N₂O production



Agricultural subtropical soils

Jinbo Zhang^{a, b, *}, Christoph Müller^{e, f}

^aSchool of Geography Sciences, Nanjing Normal University, Nanjing, China, ^bState Key Laboratory of Soil and Sustainable Agriculture, Institute of Soil Science, Chinese Academy of Sciences, Nanjing, China, ^cDepartment of Plant Ecology, Nanjing Normal University, Nanjing, China, ^dSchool of Biology and Environmental Science, Nanjing Normal University, Nanjing, China, ^eDepartment of Soil Science, University of Bayreuth, Bayreuth, Germany, ^fDepartment of Soil Science, University of Bayreuth, Bayreuth, Germany

The substrate is an important factor for N₂O production in agricultural subtropical soils

Jinbo Zhang^{a, b, c, *,} Weijun

^aSchool of Geography Sciences, Nanjing Normal University, Nanjing, China, ^bState Key Laboratory of Soil and Sustainable Agriculture, Institute of Soil Science, Chinese Academy of Sciences, Nanjing, China, ^cJiangsu Key Laboratory of Environmental

Contents lists available at ScienceDirect

Soil Biology & Biochemistry



Journal of Geophysical Research: Biogeosciences

RESEARCH ARTICLE

10.1002/2014JG002662

Key Points:

- Denitrification rate was lower in subtropical soils than in temperate soils
- NO ratio was higher in subtropical soils than in temperate soils
- Redox potential was the key soil variable predicting denitrification

The mechanisms governing low denitrification capacity and high nitrogen oxide gas emissions in subtropical forest soils in China

Jinbo Zhang^{1,2,3}, Yongjie Yu^{1,2}, Tongbin Zhu¹, and Zucong Cai^{1,3}

¹School of Geography Sciences, Nanjing Normal University, Nanjing, China, ²State Key Laboratory of Soil and Sustainable Agriculture, Institute of Soil Science, Chinese Academy of Sciences, Nanjing, China, ³Jiangsu Key Laboratory of Environmental Change and Ecological Construction, Nanjing, China





2. N_2O 同位素异位体的质谱测定及应用

同位素异位体 (Isotopomer/Isotopologue)

- **定义**: 化合物分子的一个位点被稳定同位素所代替, 某种化合物的同位素异位体的数目取决于构成化合物**元素的种类**、每种元素的**同位素数量**和**分子结构的对称性**

- **N₂O**: **N-N-O 三原子不对称的直线型结构**

N (¹⁴N、¹⁵N) , O (¹⁶O、¹⁷O、¹⁸O)

理论上共有 **12种** 同位素异位体 (2*2*3=12)

只有**5种**具有明显的自然丰度

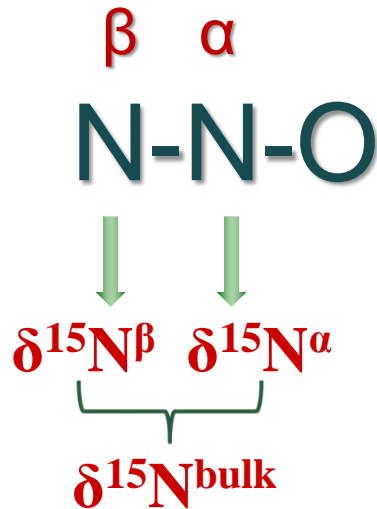
8种可被常规三杯配置的IRMS测定

Isotopologue	Abundance (mole fraction)	m/z
¹⁴ N ¹⁴ N ¹⁶ O	0.99032	44
¹⁴ N ¹⁵ N ¹⁶ O	0.00362	45
¹⁵ N ¹⁴ N ¹⁶ O	0.00362	45
¹⁴ N ¹⁴ N ¹⁸ O	0.00204	46
¹⁴ N ¹⁴ N ¹⁷ O	0.00038	45
¹⁵ N ¹⁵ N ¹⁶ O	1.32E-5	46
¹⁴ N ¹⁵ N ¹⁸ O	7.43E-6	
¹⁵ N ¹⁴ N ¹⁸ O	7.43E-6	
¹⁴ N ¹⁵ N ¹⁷ O	1.38E-6	46
¹⁵ N ¹⁴ N ¹⁷ O	1.38E-6	46
¹⁵ N ¹⁵ N ¹⁸ O	2.72E-8	
¹⁵ N ¹⁵ N ¹⁷ O	5.03E-9	

^{15}N 在中间位 (α 位) $^{14}\text{N}^{15}\text{N}^{16}\text{O}$

^{15}N 在末端位 (β 位) $^{15}\text{N}^{14}\text{N}^{16}\text{O}$

Isotopologue	Abundance (mole fraction)	m/z
$^{14}\text{N}^{14}\text{N}^{16}\text{O}$	0.99032	44
$^{14}\text{N}^{15}\text{N}^{16}\text{O}$	0.00362	45
$^{15}\text{N}^{14}\text{N}^{16}\text{O}$	0.00362	45
$^{14}\text{N}^{14}\text{N}^{18}\text{O}$	0.00204	46
$^{14}\text{N}^{14}\text{N}^{17}\text{O}$	0.00038	45



α position or 2 position : 中间位

β position or 1 position : 末端位

$$\delta^{15}\text{N}^{\text{bulk}} = (\delta^{15}\text{N}^\alpha + \delta^{15}\text{N}^\beta) / 2$$

$$\text{SP(位点优势值)} = \delta^{15}\text{N}^\alpha - \delta^{15}\text{N}^\beta$$

-SP : site preference

常规IRMS测定N₂O的方法:

(1) **化学法**: N₂O → N₂ + CO₂, 分别测定δ¹⁵N_{Air}和δ¹⁸O_{SMOW}

(2) **直接测定法**: 需配备痕量气体预浓缩装置

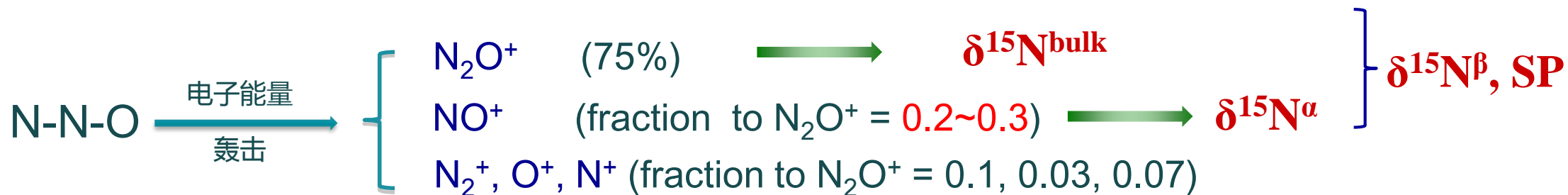
Precon(Thermo Scientific Inc.)

配有m/z 44, 45, 46三杯, 直接同时测定N₂O的δ¹⁵N_{Air}和δ¹⁸O_{SMOW}

δ¹⁵N^{bulk}

~~δ¹⁵N^α~~

~~δ¹⁵N^β~~



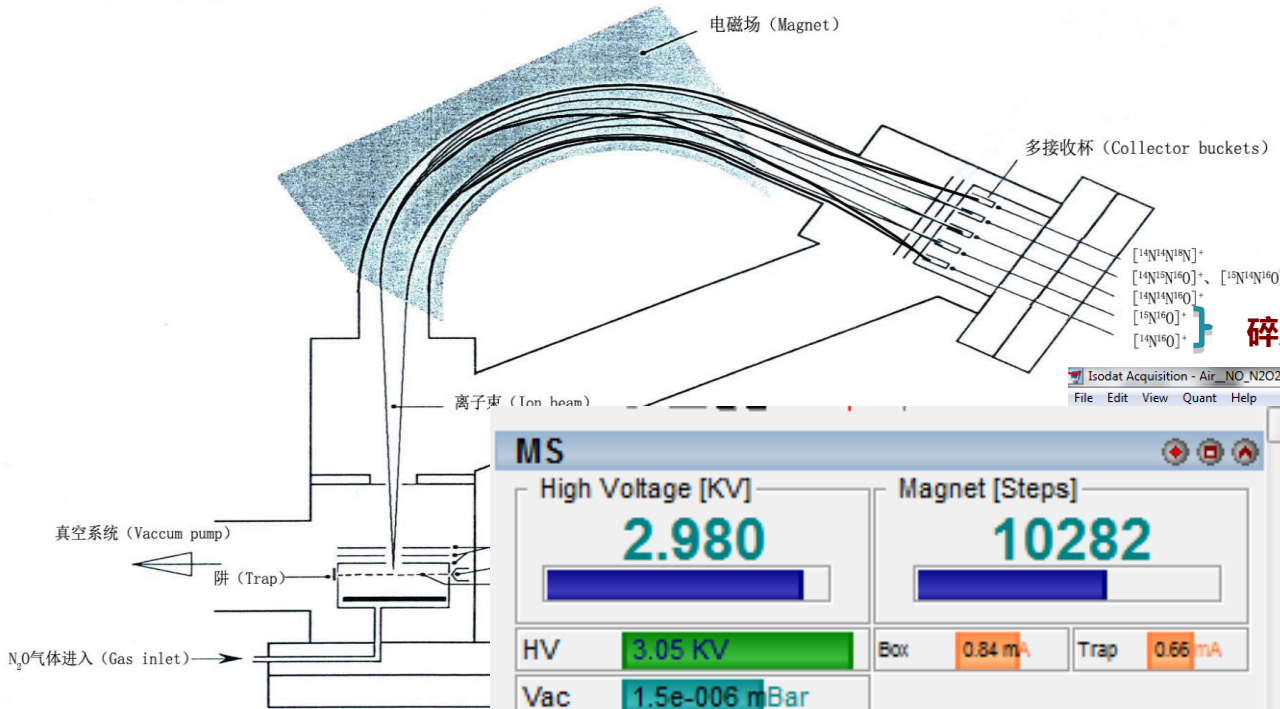
碎片离子NO⁺

分子离子N₂O⁺

Fragment ion		m/z	Molecular ion		m/z
¹⁴ N _β ¹⁶ O ⁺		30	¹⁴ N ¹⁴ N ¹⁶ O ⁺		44
¹⁴ N _α ¹⁶ O ⁺					
¹⁵ N _β ¹⁶ O ⁺		31	¹⁴ N ¹⁵ N ¹⁶ O ⁺		45
¹⁵ N _α ¹⁶ O ⁺			¹⁵ N ¹⁴ N ¹⁶ O ⁺		
¹⁴ N ¹⁷ O ⁺			¹⁴ N ¹⁴ N ¹⁷ O ⁺		
¹⁴ N _β ¹⁸ O ⁺	¹⁵ N ¹⁷ O ⁺	32	¹⁴ N ¹⁴ N ¹⁸ O ⁺	¹⁵ N ¹⁵ N ¹⁶ O ⁺	46
¹⁴ N _α ¹⁸ O ⁺				¹⁴ N ¹⁵ N ¹⁷ O ⁺	
			¹⁵ N ¹⁴ N ¹⁷ O ⁺		
	¹⁵ N ¹⁸ O ⁺	33		¹⁵ N ¹⁵ N ¹⁷ O ⁺	47
				¹⁴ N ¹⁵ N ¹⁸ O ⁺	
				¹⁵ N ¹⁴ N ¹⁸ O ⁺	
				¹⁵ N ¹⁵ N ¹⁸ O ⁺	

- 浅灰色的离子因含两个或以上的稀有同位素原子，所占比例不显著
- m/z 32因受O₂干扰，不计入
- m/z < 33 或m/z > 46的离子因含量极少，不计入

五杯模式下稳定同位素比值质谱示意图



$[^{14}N^{14}N]^{+}$
 $[^{14}N^{14}N^{16}O]^{+}$, $[^{15}N^{14}N^{16}O]^{+}$ } 分子离子 (N_2O^{+} — m/z 44,45,46)
 $[^{15}N^{16}O]^{+}$
 $[^{14}N^{16}O]^{+}$ } 碎片离子 (NO^{+} — m/z 30, 31)

Isodat Acquisition - Air_NO_N2O20150120_met_160920_163805-0000

File Edit View Quant Help

MS

High Voltage [KV] **2.980** Magnet [Steps] **10282**

HV **3.05 KV** Box **0.84 mA** Trap **0.66 mA**

Vac **1.5e-006 mBar**

30.0	0 mV
31.0	4 mV
44.0	15 mV
45.0 ▲	244 mV
46.0	11 mV

MS State

50

N2O	NO	Infos	Errors	Sequence Line					
Peak Nr.	Start [s]	Rt [s]	Width [s]	Ampl. 44 [mV]	Ampl. 45 [mV]	Ampl. 46 [mV]	Area All [Vs]	Area 44 [Vs]	Area 4 [Vs]

20140909AS

Start Stop Insert Delete Options Auto Sort Reset Error..

Row	AS Sample	AS Method	Identifier 1	Identifier 2	Comment	Preparation	Method
31	31	Disabled	Air				NO_N2O20150120.met
32	32	>Internal No 7	ZJ-15				NO_N2O20150120.met

Air_NO_N2O20150120_met_160920_163805-0000

Edit Metho... Start Re-E... Def Peak Def Bgd Scan Delete Show Backg... Stop Save Def Delete Def Delete all... Load Def

File Name: C:\Thermo\Isodat NT\Global\User\Gas Bench\Results\160920_100MLGP-air\Air_NO_N2O20150120_met_160920_163805-0000.dxf

Ratio

Intensity [mV]

Time [s]

N2O	NO	Infos	Errors	Sequence Line											
Peak Nr.	Start [s]	Rt [s]	Width [s]	Ampl. 44 [mV]	Ampl. 45 [mV]	Ampl. 46 [mV]	Area All [Vs]	Area 44 [Vs]	Area 45 [Vs]	Area 46 [Vs]	R 45N2O/44N2O	d 45N2O/44N2O	R 46N2O/44N2O	d 46N2O/44N2O	R 18O/16O

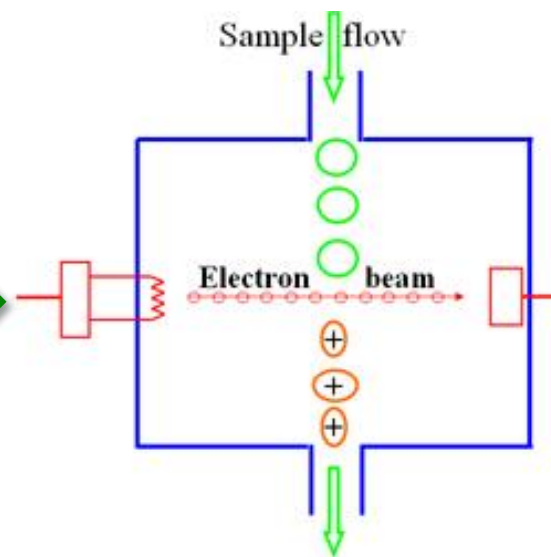
Time elapsed remaining

- NO-N₂O模式下离子源条件的优化
- 重排因子(rearrangement/scrambling factor)的测定
- N₂O工作标准气体的校准
- 其他测定问题

● NO-N₂O五杯模式下离子源条件的优化

- N₂O气体电离碎化形成多种离子 (N₂O⁺, NO⁺, N₂⁺, N⁺, O⁺) , 需保证碎片离子分布的稳定性
- NO⁺的产率仅为N₂O⁺的1/3 , 适当提高NO⁺产率可提高精确度
- N₂O⁺和NO⁺的最适离子源条件可能不同

改变电子能量 (Electron Energy)



- 不同电子能量下N₂O的离子分布比例 (Delta V Plus)

电子能量 (Electron Energy)	离子流强度 (mV)					碎化率		no. of measurements
	m/z 30 (1×10 ¹⁰ Ω)	m/z 31 (3×10 ¹¹ Ω)	m/z 44 (3×10 ⁸ Ω)	m/z 45 (3×10 ¹⁰ Ω)	m/z 46 (1×10 ¹¹ Ω)	m/z 30/44	m/z 31/30	
124 eV	29470	3560	3124	2394	2191	0.2830	0.004	n=3
100 eV	25940	3137	2889	2213	2038	0.2694	0.004	n=3
70 eV	17036	2044	1874	1432	1309	0.2727	0.004	n=3

- Toyoda et al.(1999)的测定结果 (MAT 252)

Table 1. Fragment Pattern of N₂O

instrumental conditions		fragment pattern ^a		no. of measurements ^d
sample introduction ^b	electron energy/eV	avg	variation ^c	
normal	49.0	0.3051	0.0007	<i>n</i> = 2
	86.6	0.3027	0.0005	<i>n</i> = 3
	147.0	0.3108	0.0008	<i>n</i> = 2
with He	49.0	0.3136	0.0002	<i>n</i> = 2
	86.6	0.3026	0.0002	<i>n</i> = 3
	147.0	0.3329	0.0004	<i>n</i> = 2

● 电子能量变化对离子流强度的影响

电子能量 (Electron Energy)	m/z44 信号衰减率 (%)				m/z30 信号衰减率 (%)			
	1	2	3	Mean	1	2	3	Mean
100 eV	17.52	16.08	14.83	16.14	11.98	11.28	10.79	11.35
70 eV	40.01	42.14	41.15	41.10	42.19	44.49	43.99	43.56

* 均以124 eV的离子流强度为基准计算

● 不同电子能量对N₂O同位素异位体¹⁵N丰度的测定影响

电子能量 (eV)	$\delta^{15}\text{N}^{\text{bulk}}$ (‰)	$\delta^{15}\text{N}^{\alpha}$ (‰)	Mean (‰)	$\delta^{15}\text{N}^{\beta}$ (‰)	Mean (‰)	SP (‰)	Mean (‰)
70 eV	-1.686	-6.831	-6.721	3.459	3.348	-10.290	-10.068
		-6.673		3.301		-9.974	
		-6.656		3.284		-9.940	
100 eV	-1.686	-4.266	-4.475	0.894	0.940	-5.160	-5.252
		-4.106		0.734		-4.840	
		-4.564		1.192		-5.756	
124 eV	-1.686	-4.436	-4.444		1.072		-5.516
		-4.257					
		-4.639					

● 重排因子(rearrangement/scrambling factor)的测定



$${}^{15}R_{obs}^{\alpha} = (1 - y) {}^{15}R^{\alpha} + y {}^{15}R^{\beta}$$

- 确定重排因子 (y) 后，可通过公式校正测定结果：

$$\delta^{15}N^{\alpha} = \delta^{15}N_{obs}^{\beta} + 2y(\delta^{15}N_{obs}^{\alpha} - \delta^{15}N^{bulk}) / \{A(1 - 2y)\}$$

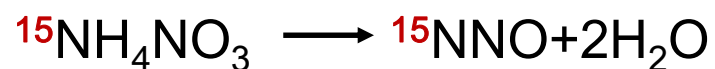
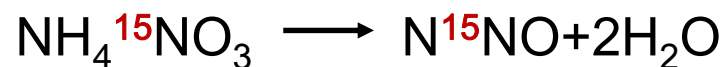
$$\delta^{15}N^{\beta} = \delta^{15}N^{bulk} + A(\delta^{15}N^{bulk} - \delta^{15}N^{\alpha}) / (2 - A)$$

A是常数， $A = ({}^{15}R^{\alpha} / {}^{15}R^{bulk})_{std}$

- 不同IRMS仪器的重排因子(y)不同: $y=0.07-0.09$ (MAT 252 253); $y=0.19-0.27$ (Isoprime) ;
- 重排因子不随 ${}^{15}N$ 丰度变化，但受离子源条件影响；

已知丰度 ($\delta^{15}\text{N}$ 、 $\delta^{18}\text{O}$ 、SP) 的 N_2O 气体，比较测定值和理论值

● 方法一： $\text{NH}_4^{15}\text{NO}_3$ 热解法

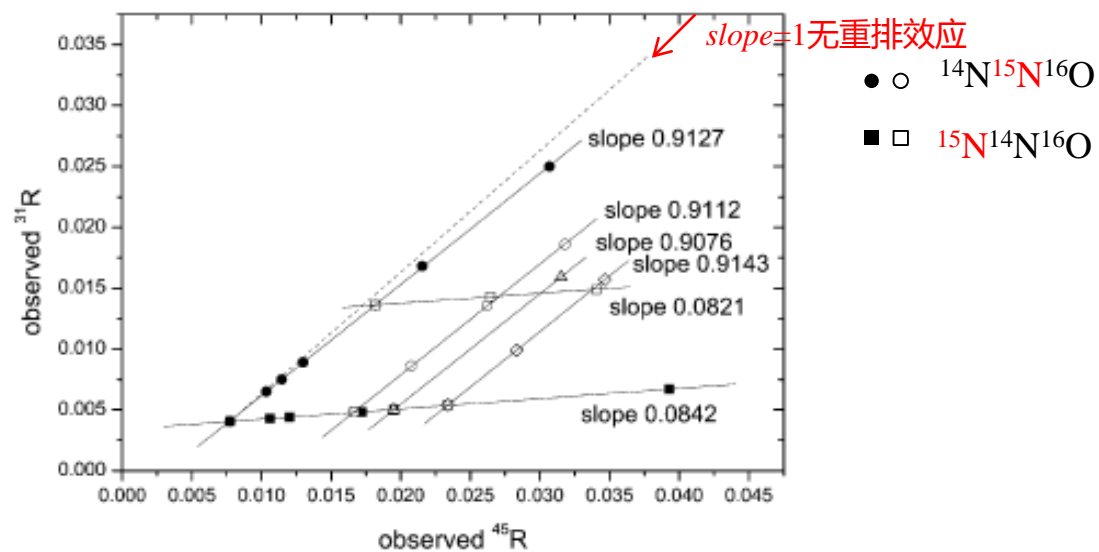
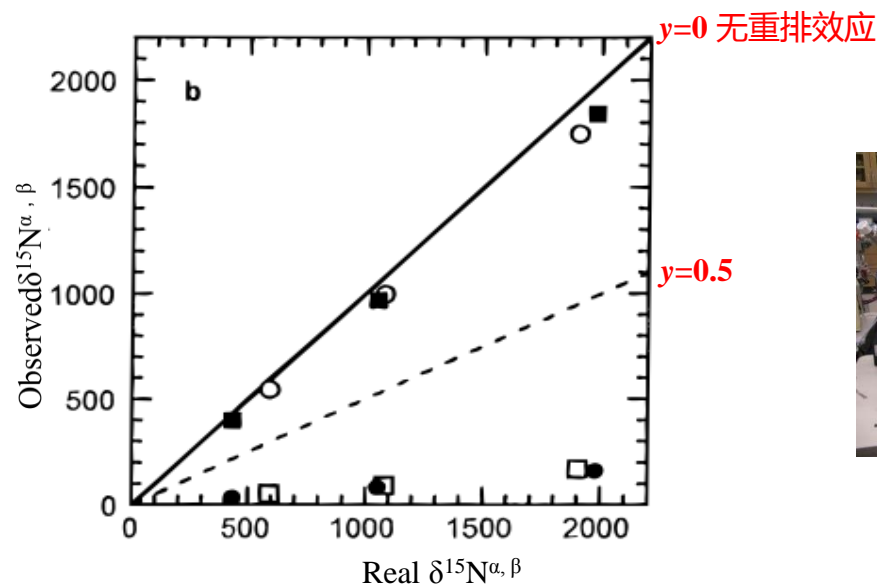


● 方法二：标记气体混合法

高纯高丰度 ^{15}NNO 或 N^{15}NO 气体

+

高纯自然丰度 N_2O 气体稀释



● N₂O工作标准气体的校准

➤ NH₄NO₃热解法

NH₄NO₃热解产生系列已知丰度的N₂O气体，与工作标准N₂O气体相对测定校准其 $\delta^{15}\text{N}^{\alpha}_{\text{air}}$ 和 $^{15}\text{N}^{\beta}_{\text{air}}$ 值

- Toyoda等人(1999)运用NH₄NO₃热解法校准工作标准N₂O气体

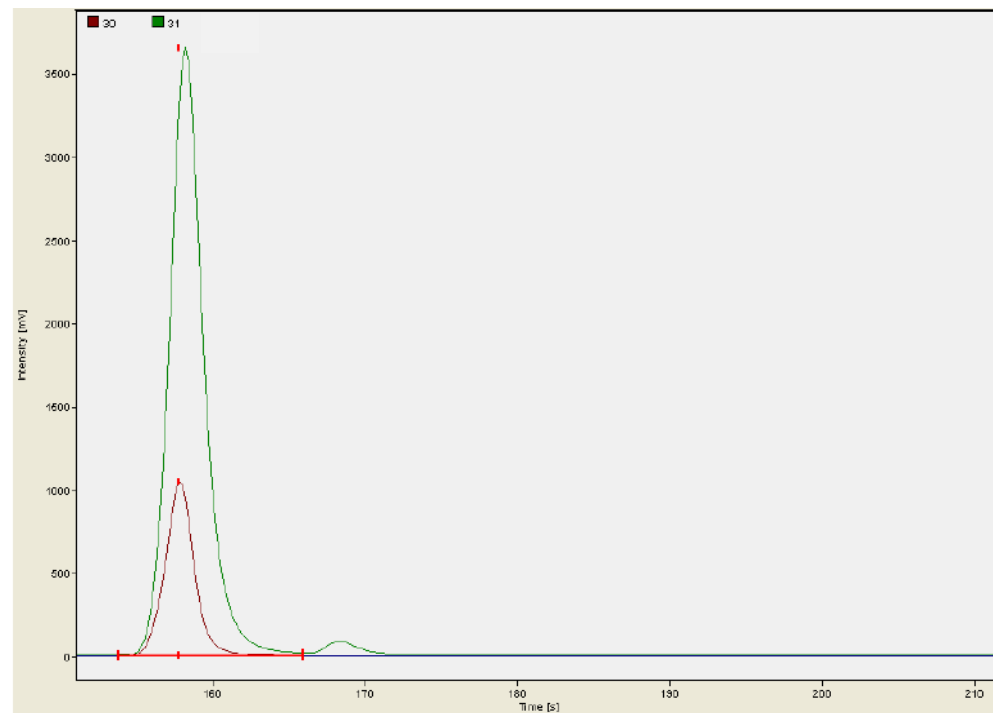
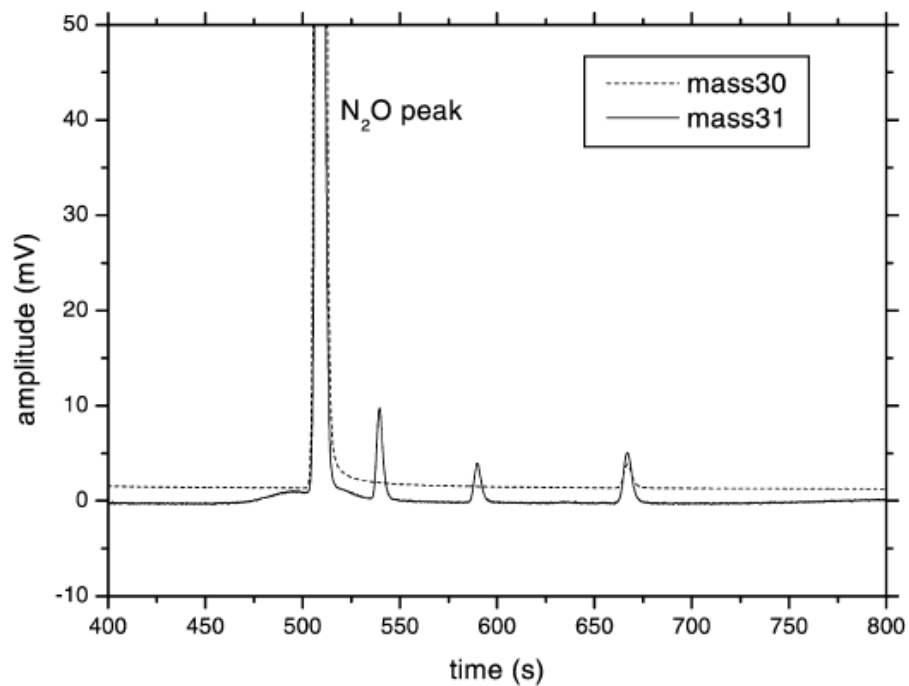
sample	NH ₄ NO ₃ 热解 产率(%)		$\delta^{15}\text{N}^{\alpha}_{\text{air}}$ of N ₂ (‰)	NH ₄ NO ₃ 生成N ₂ O的 同位素比值		工作标准N ₂ O气体与热 解生成N ₂ O气体的相对 测定值(*)		校准后工作标准N ₂ O气体的 同位素比值	
	N ₂ O	N ₂		$\delta^{15}\text{N}^{\alpha}_{\text{air}}$ (‰)	$\delta^{15}\text{N}^{\beta}_{\text{air}}$ (‰)	$\delta^{15}\text{N}^{\alpha}_{\text{syn}}$ (‰)	$\delta^{15}\text{N}^{\beta}_{\text{syn}}$ (‰)	$\delta^{15}\text{N}^{\alpha}_{\text{air}}$ (‰)	$\delta^{15}\text{N}^{\beta}_{\text{air}}$ (‰)
1	95.2	10.3	-0.94	-3.63	-5.72	0.05	6.86	-3.57	1.09
2	86.8	10.3	2.13	-4.34	-6.64	0.07	6.34	-4.27	-0.34
3	88.3	10.4	1.65	-4.21	-6.47	0.14	6.31	-4.07	-0.20
							average ^e	-4.0	0.2
								±0.4	±0.8

* 已校正重排效应

● 其他测定问题

碳氟化合物等杂质对m/z 31的干扰

$\text{CHF}_3 \rightarrow {}^{12}\text{C}^{17}\text{F}^+$ 对m/z 31信号有明显干扰，可通过调节流速和柱温、延长色谱柱来分离杂质，或加阀反吹去除杂质



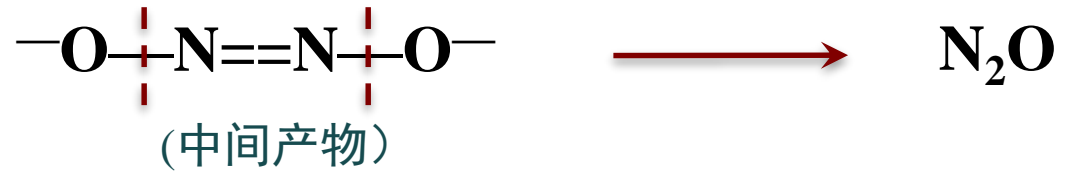
大气N₂O样品的SP值测定

测定次数	m/z 44 (mV)	m/z 31 (mV)	$\delta^{15}\text{N}_{\text{Air}}$ (‰)	$\delta^{18}\text{O}$ (‰)	SP (‰)
1	574	204	6.176	44.367	20.726
2	583	207	6.138	44.718	18.702
3	555	197	6.189	44.952	19.916
4	549	195	6.183	44.824	20.142
5	544	193	6.198	44.328	20.691
6	557	197	6.189	44.276	18.172
7	565	208	6.179	44.588	19.484
8	560	205	6.165	44.763	20.989
Mean (‰)			6.177	44.602	19.853
S.D. (‰)			0.019	0.253	1.009

➤ 对流层空气中N₂O的SP = $18.7 \pm 2.2\%$ (Toyoda et al. 1999)

$N^\beta N^\alpha O \xrightarrow{?} N_2O \text{ source partition}$

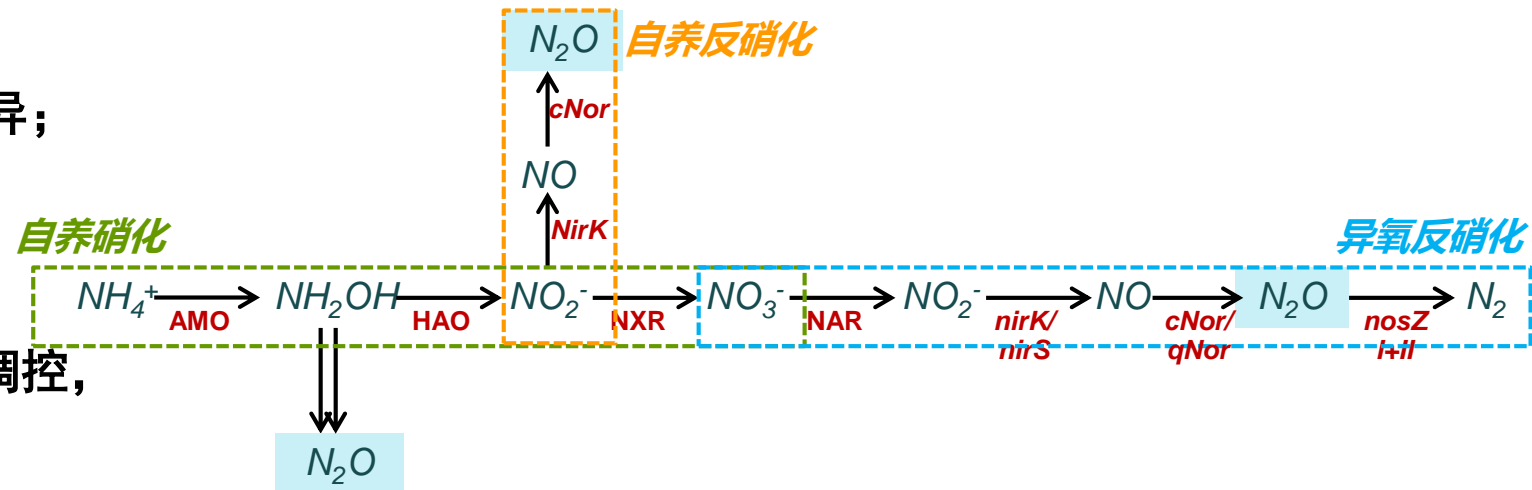
N_2O production:



N_2O reduction to N_2 :



- 不同位置**N-O键的断裂**决定了SP值的差异;
- 键的断裂受**微生物及相关的酶**调控
- 不同的 N_2O 产生途径受不同微生物和酶调控,
键断裂的位点有所差异, SP值亦不同。



- SP值基本不受底物(NH_4^+ , NO_3^- , NO_2^-) $\delta^{15}\text{N}$ 值的影响

- N_2O production (不受影响)

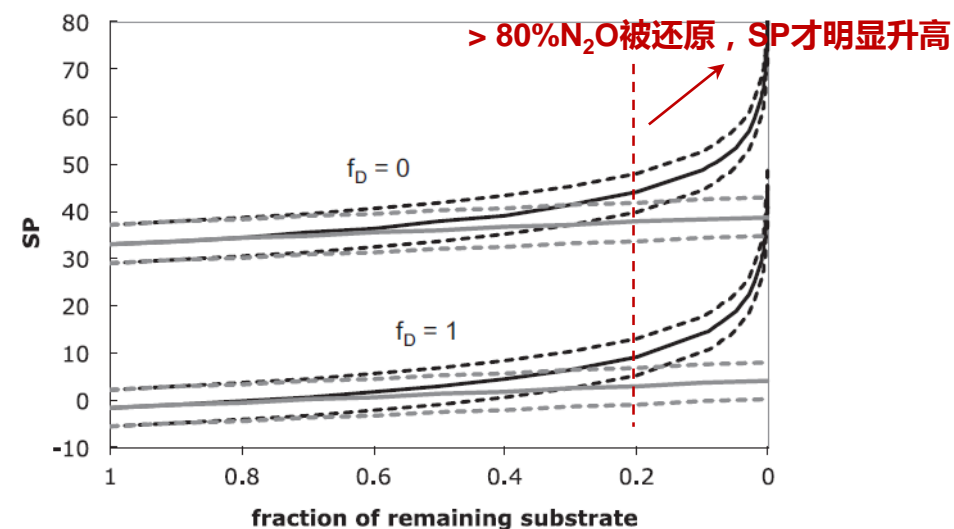
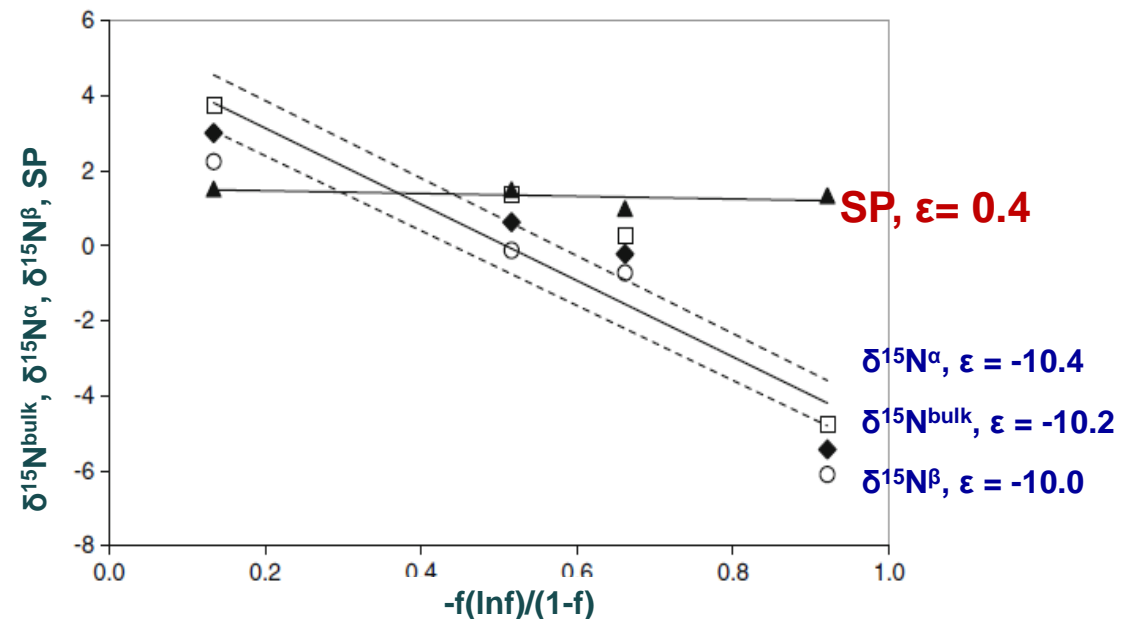
- N_2O consumption (有一定影响)

N_2O 还原为 N_2 会引起SP值升高

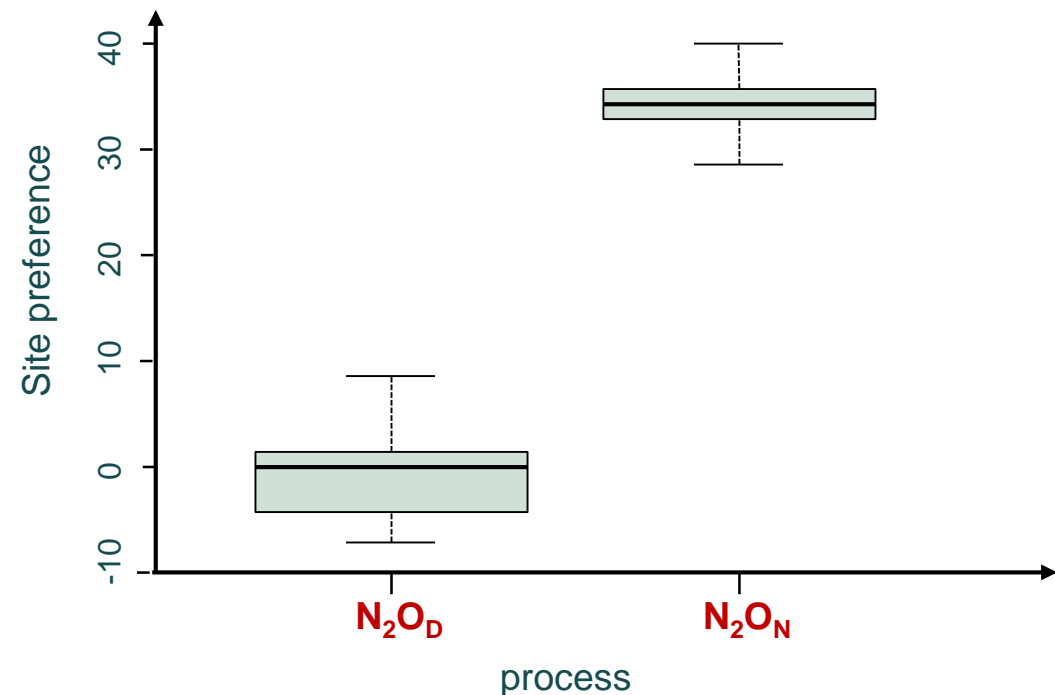
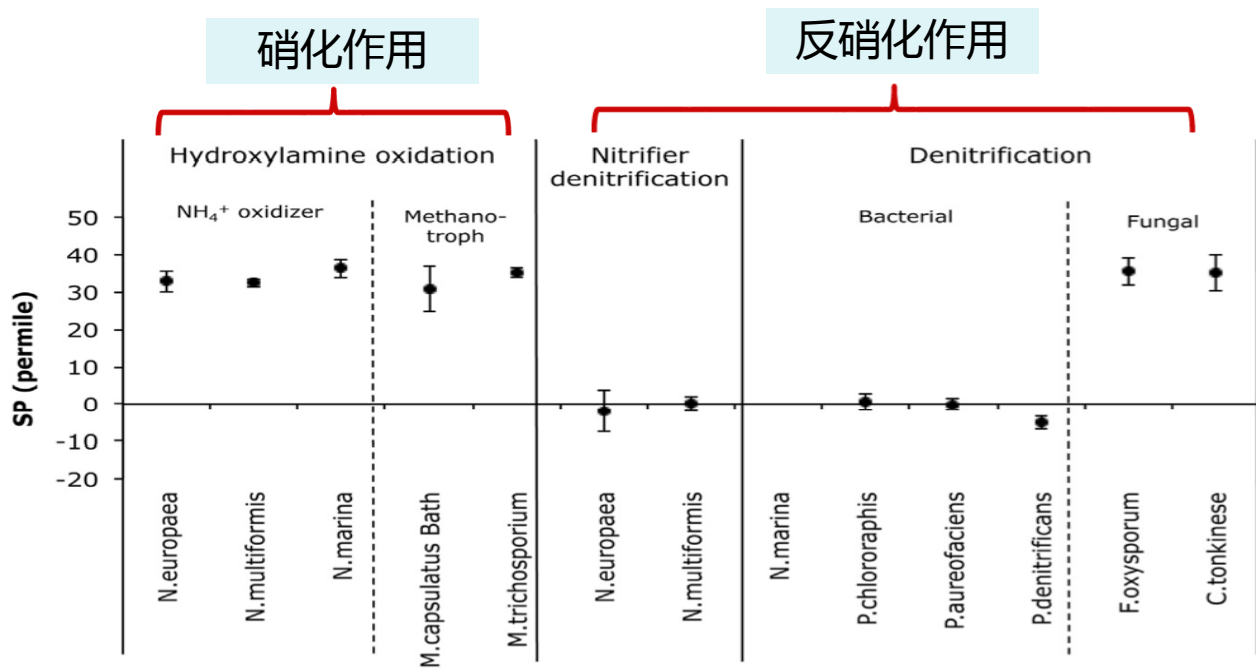
- 定性、半定量分析 N_2O 产生和消耗途径

- 不同途径 N_2O 的SP特征值(纯培养或土壤培养)

- 结合 $\delta^{15}\text{N}$, $\delta^{18}\text{O}$, SP评估不同途径的贡献率



N ₂ O 产生途径	SP特征值 (‰)
自养硝化 (n=18)	33.0 ± 1.6
细菌异养反硝化 (n=26)	-2.2 ± 3.2
硝化细菌反硝化 (n=26)	-1.0 ± 4.3
真菌反硝化 (n=8)	37.0 ± 4.3
化学反硝化 (n=8)	29.9 ± 1.5
AOA产N ₂ O (n=6)	30.3 ± 1.2
异养硝化 (真菌/细菌)	待研究
DNRA	39-57



- **N₂O_D**: 细菌异养反硝化、硝化细菌反硝化
- **N₂O_N**: 自养硝化、真菌反硝化、AOA产N₂O等
- 可作为定性或半定量区分 N₂O 来源的基点

同位素异位体法分析N₂O排放贡献

- **样品测定**：底物 (NH₄⁺, NO₃⁻) 的浓度和 $\delta^{15}\text{N}_{\text{substrate}}$ 、 $\delta^{18}\text{O}_{\text{substrate}}$ 值，

N₂O的浓度和 $\delta^{15}\text{N}_{\text{N}_2\text{O}}$ 、 $\delta^{18}\text{O}_{\text{N}_2\text{O}}$ 、SP值

- **已有文献**：不同N₂O产生途径的分馏系数 ($^{15}\epsilon$ 、 $^{18}\epsilon$)

N₂O还原为N₂的分馏系数 ($^{15}\epsilon_{\text{reduction}}$ 、 $^{18}\epsilon_{\text{reduction}}$ 和 $^{sp}\epsilon_{\text{reduction}}$)

- 不同产生途径N₂O的 $\delta^{15}\text{N}$ 、 $\delta^{18}\text{O}$ 和SP特征值范围

定性分析

N₂O 产生过程

$$\delta^{15}\text{N}_{\text{N}_2\text{O}} = \delta^{15}\text{N}_{\text{substrate}} + ^{15}\epsilon$$

$$\delta^{18}\text{O}_{\text{N}_2\text{O}} = \delta^{18}\text{O}_{\text{substrate}} + ^{18}\epsilon$$

N₂O 消耗过程

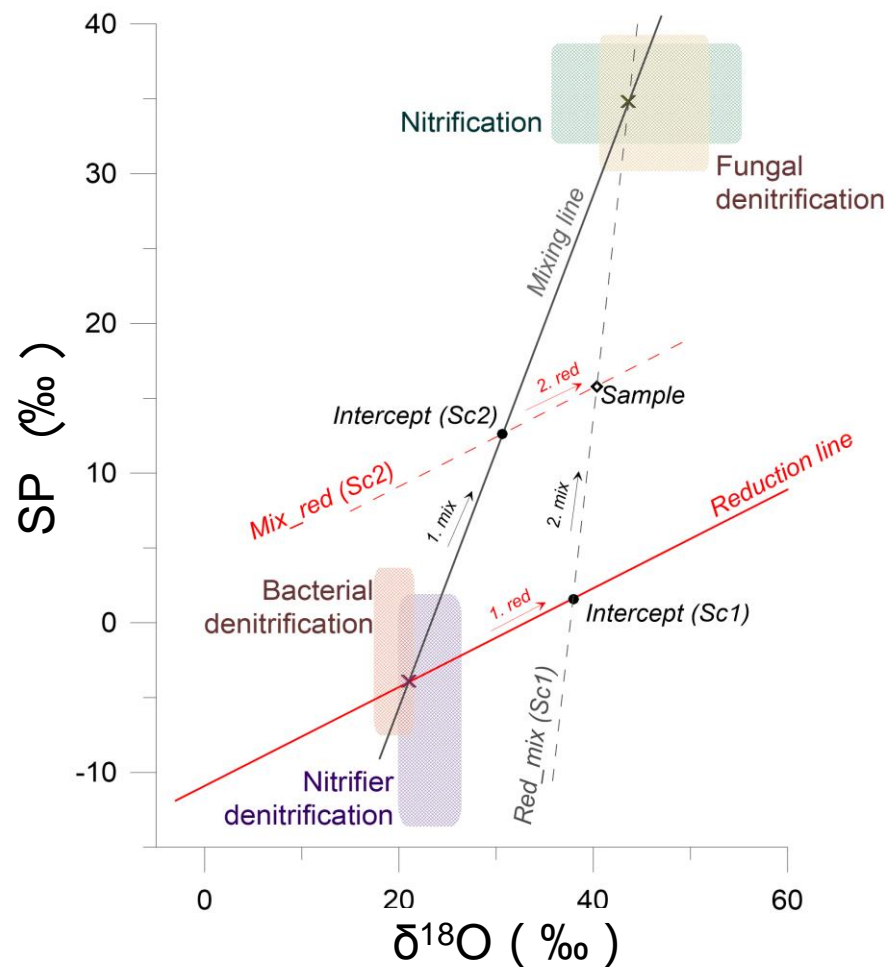
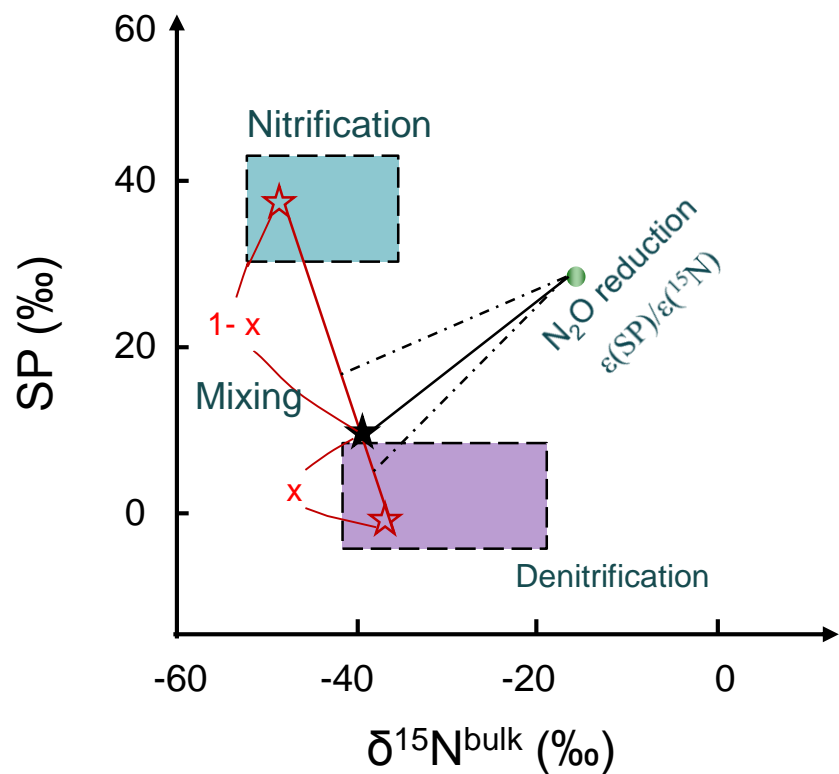
$$\delta^{15}\text{N}_{\text{N}_2\text{O}} = \delta^{15}\text{N}_{\text{source}} + ^{15}\epsilon_{\text{reduction}} \ln(f)$$

$$\delta^{18}\text{O}_{\text{N}_2\text{O}} = \delta^{18}\text{O}_{\text{source}} + ^{18}\epsilon_{\text{reduction}} \ln(f)$$

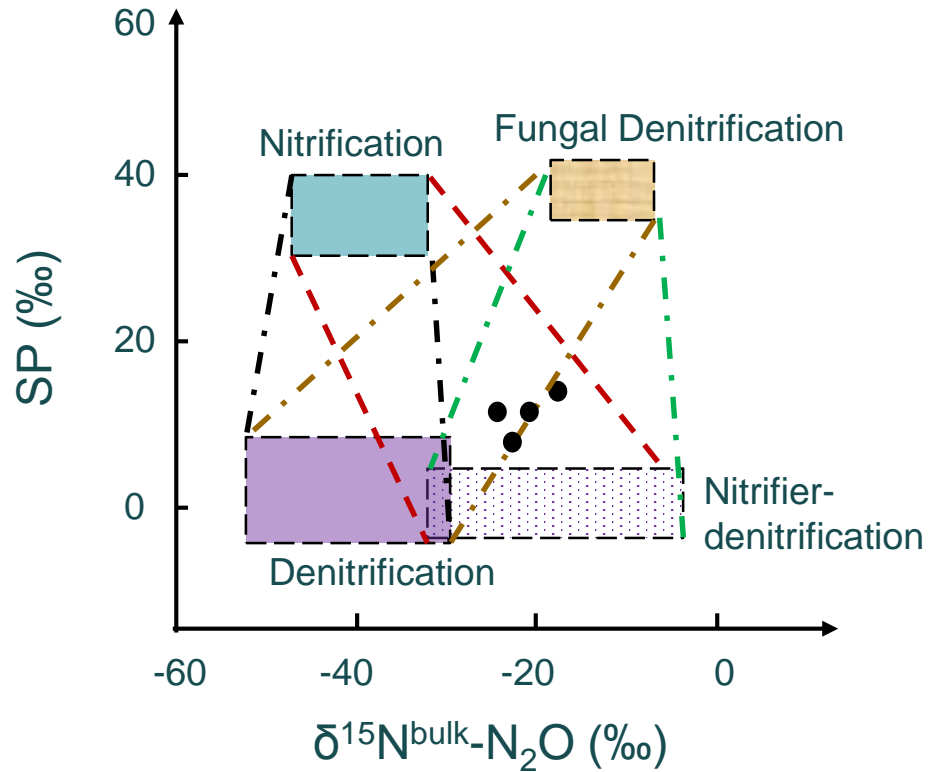
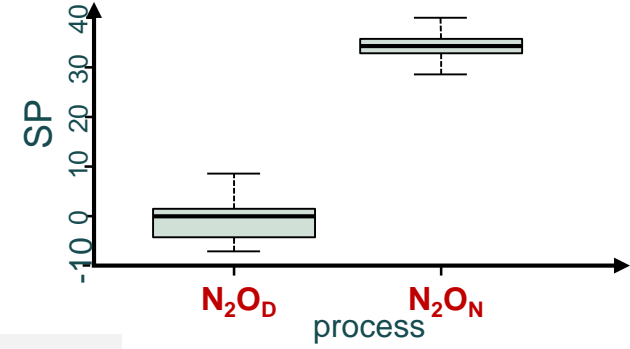
$$SP_{\text{N}_2\text{O}} = SP_{\text{source}} + ^{sp}\epsilon_{\text{reduction}} \ln(f)$$

- 定量分析——基于二源同位素混合模型
- 关键问题——如何区分N₂O还原为N₂过程对SP值的影响

$$\delta_{soil} = x\delta_{nit} + (1 - x)\delta_{denit} - k\varepsilon_{reduction}$$



- 场景假设 (Case study)
- 二源同位素混合模型分别计算每个场景(Case)下的各N₂O产生途径的贡献率



Case 1	NN v.s. DD
Case 2	NN v.s. ND
Case 3	FD v.s. ND
Case 4	FD v.s. DD

Case 1	Case 2	Case 3	Case 4
贡献率 (%)	贡献率 (%)	贡献率 (%)	贡献率 (%)
DD	NN	NN	ND
64-72	28-36	10-25	75-90
DD	FD	DD	FD
74-92	8-26	74-92	11-43
ND	ND	ND	ND
57-89	57-89	57-89	57-89



谢谢，敬请指正！

